Automation and Mechanization Energy Supply



Розвиток досліджень і практичних розробок передбачається в побудові і дослідженні математичної моделі спіралі, для оцінки завадостійкості інформаційних каналів контролю, розробці структур систем автоматичного керування і алгоритмів визначення параметрів продуктивності по пісках і технічного стану електромеханічної системи.

ЛІТЕРАТУРА

- 1. Автоматизация обогатительных фабрик / Г.А.Хан, В.П.Картушин , Л.В.Сорокер и др. М.: Недра, 1974. 280с.
- 2. Тихонов О.Н. Автоматизация производственных процессов на обогатительных фабриках/ О.Н.Тихонов. М.: Недра, 1985. 272с.
- 3. Бабець Є.К. Дослідження інформативності параметрів збагачення руди при побудові інтелектуальних систем управління / Є.К. Бабець, В.П. Хорольский, В.Б. Хоцкіна // Вісник Криворізького технічного університету. Кривий Ріг. 2006. №13. с. 55-59.
- 4. Хоцкіна В.Б. Автоматизація процесів керування технологічним комплексом збагачення залізних руд з використанням моделей мереж Петрі / В.Б. Хоцкіна // Вісник Криворізького національного університету. Кривий Ріг, 231. №34, с. 15-18.
- 5. Дмитриев В.И. Экспериментальные методы оценки производительности по рециклу в замкнутых циклах измельчения. / В.И. Дмитриев. с. 160-169. // Матеріали міжнар. конф., 3- вересня 3 жовтня, 2015р. Дніпропетровськ / Д.: Національний гірничий університет, 2015. Т.3. 252с.
- 6. Маслов Г.С. Расчеты колебаний валов. / Г.С. Маслов М.: Машиностроение, 1980. 151с.
- 7. Бизерман В.Л. Теория механических колебаний. / В.Л. Бизерман М.: Высшая школа, 1980. 408с.
- 8. Корсун В.И.Идентификация динамических характеристик спирали классификатора и их практическая проверка / В.И. Корсун, А.Н. Марюта, В.И.Дмитриев // Автоматический контроль и управление в цветной металлургии. Тезисы докладов РНТС. Ташкент, 1983. С. 28—28.
- 9. Дмитриев В.И. А.С. 1269838 СССР, МКИ В 03 В 13/00. Способ определения производительности спирального классификатора по пескам / В.И. Дмитриев // №3904014/22-03; Заявлено 27.05.85; Опубликовано 15.11.86. Бюл. №42. // Открытия. Изобретения. 1986. №42 С.82.

УДК 621.787

ПОВЫШЕНИЕ КОНТАКТНОЙ ВЫНОСЛИВОСТИ ШЕСТЕРЕН ДЛЯ ГОРНЫХ МАШИН

С.Д. Карпухин¹, Н.А. Юшин²

Contemporary Innovation Technique of the Engineering Personnel Training for the Mining and Transport Industry 2017

¹ кандидат технических наук, доцент, e-mail: mgtu-gvi@yandex.ru

² студент, e-mail: dr.mgtu@yandex.ru

^{1, 2} кафедра «Материаловедение», Московский Государственный Технический Университет им. Н. Э. Баумана, Россия



Аннотация. Повышение работоспособности высоконагруженных деталей, в том числе и шестерен для горных машин возможно путем применения хромоникелевых цементованных сталей с последующим деформационным упрочнением. В работе показано, что для деталей из стали 12Х2Н4А необходимо после дробеударной обработки провести низкий отпуск. Такая обработка приводит к значительному повышению контактной выносливости высоконагруженных шестерен.

Ключевые слова: горные машины, шестерни, сталь 12Х2Н4А, газовая цементация, контактная выносливость, дробеударная обработка.

INCREASING THE CONTACT FATIGUE OF DETAILS FOR MINING MACHINERY

S.D. Karpukhin¹, N. Yushin²

¹Ph.D., assistant Professor, e-mail: mgtu-gvi@yandex.ru

²student, e-mail: dr.mgtu@yandex.ru

Abstract. Improving performance of highly loaded parts, including gear wheels for mining machinery is possible through the use of chromium-nickel steel. After carburizing them can hold a deformation hardening. It is shown that parts of steel 12Kh2N4A necessary to conduct low tempering after shot blast treatment. Such complex treatment leads to a significant increase in the contact fatigue of highly loaded gears.

Keywords: mining machinery, gear wheels, steel 12Kh2N4A, gas carburizing, contact fatigue, shot blast treatment.

Введение. Для повышения работоспособности зубчатые колеса подвергают комплексному упрочнению, включающему химико-термическую обработку (цементацию) и поверхностное пластическое деформирование. Холодная пластическая деформация существенно меняет строение фаз цементованного слоя, что оказывает определяющее влияние как на характеристики качества поверхностного слоя, так и на важнейшее эксплуатационное свойство зубчатых колес – контактную выносливость [1-3]. Среди современных упрочняющих технологий, обеспечивающих требуемые эксплуатационные характеристики, широко известны методы электромеханической обработки [13]. Тем не менее центральное место принадлежит химико-термической обработке [4, 5, 12].

Целью настоящей **работы** являлось исследование закономерностей изменения характеристик качества цементованного слоя, тонкой структуры его фаз при дробеструйном наклепе и их взаимосвязь с контактной выносливостью хромоникелевой стали 12X2H4A. А также возможность повышения эксплуатационных свойств тяжелонагруженных шестерен.



^{1, 2} Bauman Moscow State Technical University, Materials Department, Russia



Методика и объекты исследования. Объектами исследований служили роликовые образцы из стали 12X2H4A с наружным диаметром 30,2 и шириной 18 мм. Образцы проходили типичную для зубчатых колес химикотермическую обработку (цементацию в шахтной печи при $t=930\,^{\circ}$ C на глубину 1,0...1,2 мм, отпуск при $t=650\,^{\circ}$ C, закалку в масле от $t=780\,^{\circ}$ C, обработку холодом при $t=70\,^{\circ}$ C, низкий отпуск при $t=180\,^{\circ}$ C) и имели твердость поверхности HRC 61...62, в сердцевине HRC 35...39,5.

После шлифования по наружной поверхности (снимали припуск 0,15 мм) роликовые образцы подвергали упрочнению стальной дробью диаметром 0,8...1,0 мм при расходе 9 ± 1 кг/мин и давлении воздуха $0,4 \pm 0,2$ МПа.

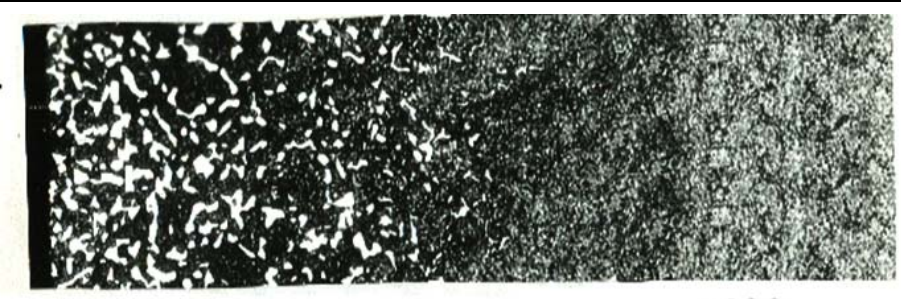
Контактную выносливость определяли при испытаниях образцов по схеме качения с проскальзыванием (ГОСТ 25.501 – 78). За критерий долговечности стали 12Х2Н4А принимали число циклов до появления на поверхности роликового образца выкрашивания размером не менее ширины рабочей дорожки, равной 8 мм. В качестве смазывающего вещества применяли синтетическое масло диэфирного типа, нагретое до $t=110\pm5$ °C.

На роликовых образцах определяли также распределение микротвердости, тангенциальные остаточные макронапряжения и структуру поверхностного слоя. Остаточные напряжения оценивали по методу Н. Н. Давиденкова на вырезанных из роликов кольцевых образцах с толщиной стенки 2 мм.

Структуру цементованного слоя образцов стали 12Х2Н4А исследовали методами рентгеноструктурного анализа и дифракционной электронной микроскопии. Ширину интерференционных линий (220) и (211) мартенсита определяли на дифрактометре ДРОН-1 в железном K_{α} -излучении. Съемку рентгенограмм проводили на одном и том же участке образца до и после наклепа 5...10 раз и определяли разность $\Delta \beta = \beta_{\text{исx}} - \beta_{\text{нак}}$, где $\beta_{\text{исx}}$ и $\beta_{\text{нак}}$ – физическое уширение рентгеновской линии в исходном состоянии и после наклепа соответственно.

Проведение экспериментов и их обсуждение. Микроисследования показали характерную для цементованных сталей структуру (рис. 1), фазовый состав которой включал: мартенсит отпуск, карбиды и остаточный аустенит. Поверхностное пластическое деформирование заметно меняет состояние поверхностного слоя образцов стали 12Х2Н4А. Степень упрочнения $\delta = (\Delta H / H_{\text{исx}} \cdot 100)$ % составила 10-15 % и оказалась максимальной при $E \approx 80$ кДж/м². Этот режим обеспечивает также практически предельную толщину упрочненного слоя (около 230 мкм). Режимы с энергией дроби более 80 кДж/м² применять нецелесообразно, так как при этом твердость на поверхности образцов снижается; максимум твердости смещается в подповерхностный слой [6, 7].





x400

Рисунок 1 — Микроструктура поверхности стали 12X2H4A после химико-термической обработки

Для упрочненных дробью роликовых образцов из стали 12X2H4A характерны высокие значения остаточных напряжений сжатия (рис. 2). Максимальные остаточные напряжения и напряжения у поверхности образцов растут с увеличением кинетической энергии дроби, достигая наибольших значений также при $E \approx 80 \text{ кДж/м}^2$.

Наклеп дробью оказывает неоднозначное влияние на контактную выносливость стали 12X2H4A (рис. 3). Повышение ее в 1,5 раза по сравнению с контактной выносливостью в исходном (недеформирован-ном) состоянии наблюдается лишь при упрочнении с $E \approx 40 \text{ кДж/м2}$. Режим обработки с $E \approx 80 \text{ кДж/м2}$, в результате которой достигаются наиболее высокие твердость поверхности и остаточные напряжения сжатия, приводит к снижению долговечности стали 12X2H4A почти в 2 раза. Таким образом, выбор режимов деформирования материала по характеристикам качества поверхности может привести к отрицательному эффекту.

Отсутствие однозначной связи между контактной выносливостью, микротвердостью и остаточными напряжениями сжатия обусловлено существенными изменениями структуры фаз цементованного слоя стали при поверхностном пластическом деформировании. Решающее влияние на эти изменения оказывает взаимодействие в процессе деформации трех фаз – мартенсита отпуска, остаточного аустенита и включений избыточных карбидов.

В исходном состоянии мартенсит цементованного слоя стали 12X2H4A характеризуется неоднородностью, высокими микроискажениями кристаллической решетки [8, 9]. Остаточный аустенит, количество которого, по данным рентгеноструктурного анализа, составляет в стали 12X2H4A до деформационного упрочнения 10...17 %, диспергирован [10, 11].

Важная деталь структуры цементованного слоя стали 12X2H4A — неоднородно распределенные в мартенситной матрице глобули избыточных карбидов (около 10-15 %). «Жесткие» недеформирующиеся включения кар-



бидов вызывают локализацию в мартенсите микропластической деформации и, как следствие, формирование высоких локальных микронапряжений, приводящих к более раннему зарождению трещин контактной усталости.

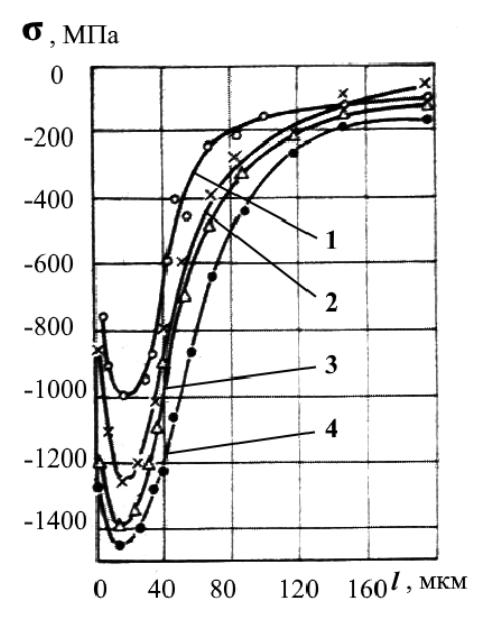


Рисунок 2 — Эпюры тангенциальных остаточных напряжений σ (I — расстояние от поверхности) в образцах из стали 12X2H4A при разной энергии деформирования E, кДж/м 2 : 1 — 20; 2 — 40; 3 — 60; 4 — 80

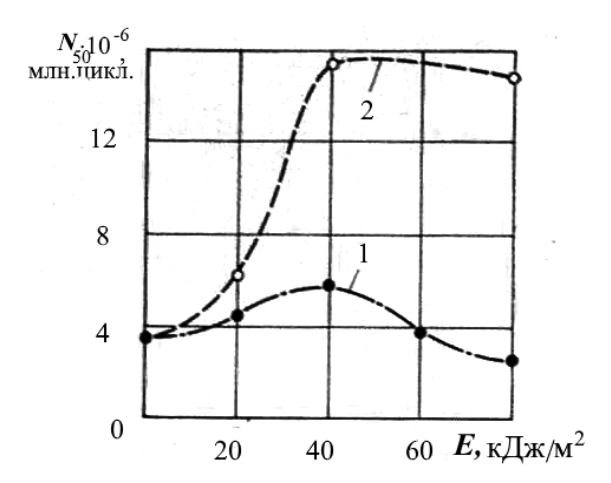


Рисунок 3 — Контактная выносливость N_{50} стали 12X2H4A в зависимости от кинетической энергии дроби E:

1 – наклеп; 2 – наклеп и отпуск при t = 130 °C 2 ч

Значения локальных напряжений около недеформирующихся включений тем больше, чем выше общий уровень микронапряжений в матрице (рис. 4).



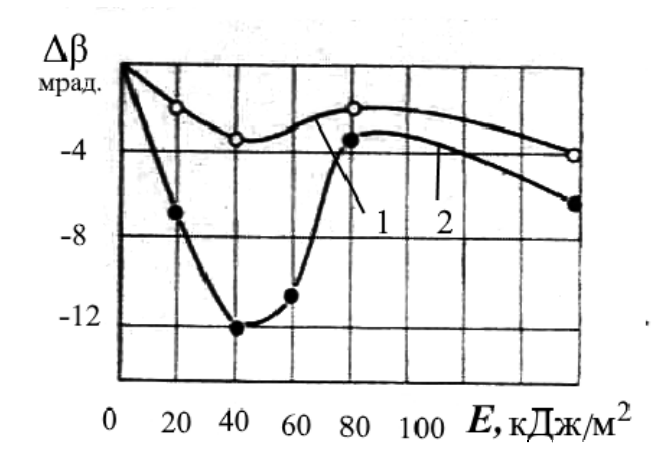


Рисунок 4 — Изменение физического уширения $\Delta \beta$ интерференционных линий:

1 - (211) и 2 - (220) мартенсита в зависимости от кинетической энергии дроби *E*

Важный резерв повышения контактной выносливости стали 12X2H4A – применение после наклепа дробью низкотемпературного отпуска (см. рис. 3, кривая 2). Отпуск при $t=130\,^{\circ}\text{C}$ 2 ч способствует повышению долговечности стали 12X2H4A примерно в 3 раза по сравнению с долговечностью в исходном (после шлифования) состоянии. Его положительное влияние связано с уменьшением локальных микронапряжений вблизи структурных концентраторов напряжений, а также с увеличением степени закрепления дислокаций атомами углерода. Значительное повышение долговечности в результате деформационного старения стали 12X2H4A в определенной степени связано с совпадением схем напряженного состояния при наклепе и в зоне контактного нагружения. Блокировка дислокаций протекает более интенсивно в системе плоскостей скольжения, близкой к направлению пластического течения металла при контактном нагружении.

Выводы. 1. Повышение контактной выносливости цементованной стали 12X2H4A при наклепе дробью достигается в узком диапазоне режимов упрочнения, когда не возникает локальных повреждений тонкой структуры мартенсита цементованного слоя.

2. Поверхностное пластическое деформирование рекомендуется сочетать с последующим низкотемпературным отпуском, необходимым для релаксации локальных микронапряжений, а также для дополнительного упрочнения мартенсита за счет его деформационного старения. В результате такого комбинированного упрочнения контактная выносливость стали 12X2H4A повышается в 3 раза.



ЛИТЕРАТУРА

- 1. Елисеев Ю.С., Крымов В.В., Нежурин И.П. и др. Производство зубчатых колес газотурбинных двигателей. М.: Высшая школа, 2001. 493 с.
- 2. Пахомова С.А. Особенности преподавания курса «инженерия поверхности» студентам по направлению «материаловедение и технологии материалов» // Инженерный вестник. 2015. № 9. С. 19.
- 3. Пахомова С.А., Макушина М.А., Коваленко С.В. Деформационное упрочнение тяжелонагруженных поверхностей зубчатых передач для горнодобывающей промышленности // Современные инновационные технологии подготовки инженерных кадров для горной промышленности и транспорта. 2016. № 3. С. 243-251.
- 4. Pakhomova S.A., Ryzhov N.M., Vasil'ev V.R. Changes in the structure of martensite of iron-nickel alloys under the action of thermal shotblast treatment // Metal Science and Heat Treatment. 2001. T. 43. № 11-12. C. 438-439.
- 5. Фахуртдинов Р.С., Рыжова М.Ю., Пахомова С.А. Преимущества вакуумной цементации и проблемы ее промышленного применения // Все материалы. Энциклопедический справочник. 2016. № 8. С. 37-43.
- 6. Рыжов Н.М., Гуляев А.А., Пахомова С.А. Структура и контактная выносливость цементованной стали 12Х2Н4Ф после поверхностного пластического деформирования // Металловедение и термическая обработка металлов. 1986. № 3. С. 30.
- 7. Пахомова С.А. Совершенствование технологии поверхностного упрочнения шестерен из высокопрочных сталей // Тяжелое машиностроение. 2009. № 10. С. 35-38.
- 8. Pakhomova S.A., Unchikova M.V., Fakhurtdinov R.S. Gear wheels surface engineering by deformation hardening and carburization // Solid State Phenomena. 2016. T. 870. C. 383-391.
- 9. Рыжов Н.М., Пахомова С.А. Эфективность теплового дробеударного упрочнения цементованных сталей // Металловедение и термическая обработка металлов. 1994. № 5. С. 21.
- 10. Пахомова С.А., Рыжов Н.М. Изменение структуры и свойств мартенсита железоникелевых сплавов дробеударном упрочнении / Металловедение и термическая обработка металлов. 1990. № 11. С. 23.
- 11. Макушина М.А., Климкина А.А., Пахомова С.А. Исследование технологической наследственности разных способов цементации // В сборнике: Будущее науки2016. Сборник научных статей 4й Международной молодежной научной конференции: в 4х томах. 2016. С. 8689.
- 12. Пахомова С.А. Эффективность деформационного упрочнения теплостойких сталей // Деформация и разрушение материалов. 2007. № 1. С. 17-20.
- 13. Морозов А.В., Федорова Л.В., Федотов Г.Д., Толмаков Е.А. Исследование объемного электромеханического дорнования на формирование элементного состава на рабочей поверхности свернутых втулок из Бр. ОЦС 4-4-2,5. /Известия Тул ГТУ. 2016, вып. 1. С. 178-185.

